

Fe - Bi

1960

BiFeO₃

12Б219. Структура нового антиферромагнетика BiFeO_3 . Заславский А. И., Тутов А. Г. «Докл. АН СССР», 1960, 135, № 4, 815—817.—Проведено рентгенографич. исследование (методом порошка) нового сегнетоэлектрика BiFeO_3 . Синтез образцов проводился по обычной керамич. методике с т-рой предварительного обжига 750° и окончательного 800° . Установлено, что BiFeO_3 имеет структуру типа перовскита с небольшим ромбоэдрич.искажением: $a = 3,952 \text{ kX}$, $\alpha = 89^\circ 36'$, ϱ (пики.) 8,31, ϱ (рент.) 8,39, $Z = 1$. На основе анализа одномерного синтеза Паттерсона — Харкера и по кристаллохим. соображениям выбрана ф. гр. $R\bar{3}m$. Получен набор (26) интенсивностей рефлексов на дифрактометре УРС-50И. Наименьшее значение фактора $R(0,09)$ получено при размещении атомов Bi, Fe и O по положениям (000), $(\frac{1}{2}, \frac{1}{2}, \frac{1}{2})$ и $(0, \frac{1}{2}, \frac{1}{2})$ соответственно (без смещений). Фактор Гольдшмита $t = 0,89$.

xx.1961.12

Отміска ІІСГ
отискано 1961
від освіченої
Федуловим
VI-1434

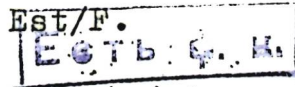
BiFeO₃(Tm)

Федулов С.А., Веневцев Ю.Н.,
Жданов Г.С., Смажевская У.Г.

Кристаллография, 1961, 6, №5, 795-96.

Высокотемпературные рентгеновские и термо-
граф. исслед. феррита висмута.

РХ., 1962, 66179 Ве,



1964

BiFeO₃
21 Б390

21 Б390. Полная фазовая диаграмма системы PbTiO₃—BiFeO₃. Федулов С. А., Ладыжинский П. Б., Пятигорская Л. И., Веневцев Ю. Н. «Физ. твердого тела», 1964, 6, № 2, 475—478

На основании результатов рентгеновских исследований, электрич. и магнитных измерений построена фазовая диаграмма системы PbTiO₃—BiFeO₃. Уточнены концентрационные границы морфотропного тетрагонально-ромбоэдрич. фазового перехода. В интервале от ~66 до ~73 мол. % BiFeO₃ найдена двухфазная область (тетрагональная+ромбоэдрич. модификации). Все изученные составы системы обладают сегнетоэлектрич. свойствами со слабым ферромагнетизмом.

Д. А.

Х-1964-21

1964

BiFeO₃

*разовый
переход*

18 Б467. Исследование системы BiFeO₃—LaFeO₃.
Фрейденфельд Э. Ж., Янсон Г. Д., Максимова О. С. «LatvPSR Zinātņu Akad. vēstis. Kimijas sēg.»
Изв. АН ЛатвССР. Сер. хим.», 1964, № 4, 397—401
(рэз. англ.)

Проведено термографическое, рентгеновское и дилатометрич. исследование образцов системы BiFeO₃—LaFeO₃ (I). Измерены также объемная магнитная восприимчивость и водопоглощение. Установлен непрерывный ряд твердых р-ров. Найдены 2 фазовых перехода: магнитный при 390—470° и сегнетоэлектрический при 680—820°. Увеличение конц-ии I ведет к повышению т-ры магнитного фазового перехода и понижению т-ры сегнетоэлектрического.

Д. А.

+1

Х. 1965. 18

БР 4144-Г

1865

BiFeO₃

У 13 Б656. Высокотемпературное рентгеноструктурное исследование системы BiFeO₃—Pb(Fe_{0.5}Nb_{0.5})O₃. Исмадилзаде И. Г. «Изв. АН СССР. Сер. физ.», 1965, 29, № 6, 1032—1034

Проведено высокотемп. (до 770°) рентгенографич. исследование структуры BiFeO₃ (I) и тв. р-ров I—Pb(Fe_{0.5}, Nb_{0.5})O₃ (II) до 40 мол. % II. Установлено наличие 2 фазовых переходов, совершающихся без изменения ромбоэдрич. симметрии ячейки. Т-ры этих переходов для I равны 375° (т-ра тела) и 575°. С ростом содержания второго компонента их т-ры постепенно снижаются. Фазовый переход ромбоэдрическая ↔ кубич. (相伴) сопровождающийся переходом сегнето- или антисегнетоэлектрич. св-в в параэлектрические обнаружен, начиная с 15 мол. % II (для этого состава T_к≈710°).

По реферату авторов

1.1966.

13

Fe - Bi
Система

-0

VI - 3992

1965

из
окислов

13 Б645. Фазовая диаграмма системы окись висмута — окись железа. Сперанская Е. И., Скориков В. М., Роде Е. Я., Терехова В. А. «Изв. АН СССР. Сер. хим.», 1965, № 5, 905—906

Методом ДТА исследована диаграмма состояния системы Bi_2O_3 — Fe_2O_3 . Установлено наличие 3 соединений: $\text{Bi}_2\text{O}_3 \cdot 2\text{Fe}_2\text{O}_3$ (т. инконгр. пл. 960°); $\text{Bi}_2\text{O}_3 \cdot \text{Fe}_2\text{O}_3$ (I) (т. инконгр. пл. 930°), претерпевающее обратимое превращение при 825° ; $20\text{Bi}_2\text{O}_3 \cdot \text{Fe}_2\text{O}_3$ (II) (т. инконгр. пл. 795°). При 785° кристаллизуется эвтектич. смесь низкотройной формы I и II.

Д. А.

X - 1966 - 13

BiFeO₃

VI 4003

1966

(T_t)

2 Е313. Рентгенографическое исследование фазовых переходов в феррите висмута. Исмаилзаде И. Г.
«Докл. АН СССР», 1966, 170, № 1, 85—87

Ионизационным методом в интервале 20—850° С при 38 т-рах проведено рентгеновское исследование структуры феррита висмута BiFeO₃. Установлено наличие семи фазовых переходов, происходящих при 125, 195, 275, 375, 485, 575 и 845° С, из которых ранее были известны только два: при ~375 и 575° С. Полученные результаты подтверждаются данными дилатометрич. измерений.

Отмак у Резинского!

ab. 1967. 28

Все переходы совершаются без изменения ромбоэдрич. симметрии ячеек. Переход из сегнето- или антисегнето-электрич. состояния (ромбоэдрич. фаза) в паразелектрическую (кубич. фаза) происходит не при 850°C , как это утверждается другими авторами, а при $\sim 875^{\circ}\text{C}$, что является и т.рой Кюри BiFeO_3 . Истинная кристаллографич. ячейка BiFeO_3 является сложной, кратной простой перовскитной ячейке с периодом $a=2 \cdot 3,963 \text{ \AA}$, т. е. имеет место сверхструктура, обусловленная антипарал. смещениями ионов в ячейке. Такую же кратность имеет магнитная элементарная ячейка. Т. обр., кристаллографич. и магн. элементарные ячейки BiFeO_3 совпадают. Это является необходимым условием существования в антиферромагнетике BiFeO_3 твердо установленного слабого ферромагнетизма. Следовательно, феррит висмута является антисегнетоэлектриком-антиферромагнетиком.

Б99 4365-Д

.1966

BiFeO₃

У 7 Е258. Фазовые переходы в BiFeO₃. Край-
ильк Н. Н., Хучуа Н. П., Жданова В. В., Евсе-
ев В. А. «Физ. твердого тела», 1966, 8, № 3, 816—821

Исследована температурная зависимость ε и $\operatorname{tg} \delta$ на
частоте $9,4 \cdot 10^9$ Гц относит. удлинения BiFeO₃ в ин-
тервале $20 \div 880^\circ\text{C}$. Показано, что во всем исследованном
интервале т-р величина ε не превышает 150. Обнаружено
большое число фазовых переходов и подтверждено
существование найденных ранее фазовых переходов.
Обсуждается природа этих фазовых переходов. Пред-
полагается, что самый высокотемпературный фазовый
переход, происходящий в области $840 \div 850^\circ\text{C}$, является
переходом в точке Кюри.

9· 1966· 48 X-1966-№ 245615

Физ. 1

530.1

Montaldi E., Paganoni L.

Remarks on a consistency problem in Heisenberg's nonlinear theory.

Nuovo cimento, 1965, 39, N 3, 1005—1011.

Замечания о проблеме совместности в нелинейной теории
Гейзенберга.

1966

VI-4957

PbTiO₃, BaTiO₃, BiFeO₃

Жданов Г.С., Томашпольский Ю.Я., Платонов
Венцев Г.С. Г.С.

Proc, Int. Met. Ferroelec. Prague, 1966, 1, 322-331.

Structural electrow-microdiffraction
studies of ferroellctrics and ferroelectric
magnets.

M1

CA, 1967, 67, N6, 26699t

1967
BiFeO₃

9 Б432. Получение однофазного поликристаллического BiFeO₃. Achenbach G., James W., Geeson R. Preparation of single-phase polycrystalline BiFeO₃. «J. Amer. Chem. Soc.», 1967, 50, № 8, 437 (англ.)

Описан способ получения однофазного кристаллич. порошка BiFeO₃ (I). Исходная шихта бралась в соотношении Bi₂O₃:Fe₂O₃=2:1, чтобы избежать образования Bi₂Fe₄O₉. Предварительно растертая шихта выдерживалась в печи при 750° в течение 3 часов, затем образцы подвергались закалке на воздухе. Полученный шлак содержал I и избыточный Bi₂O₃, который вымывался HNO₃. Образцы I исследованы рентгенографически (метод порошка, λCu-K_α). Параметры решетки I: a 3,958 Å, α 89°30'.

Л. Н. Демьянец

X·1968·9

VI

BiFeO₃

VI 6707

1969.

cr. str.

Michel C., Moreau J.-M., Achenbach G.D.,
Gerson R., James W.J.

Solid State Commun., 1969, 7, N 9, 701-704.

The atomic structure of BiFeO₃.

5

④ 4

PX 1970, 25430.

1970

 $\text{Bi}_2\text{Fe}_4\text{O}_9$ стар-ра

5 Б566. О двойных вольфраматах рубидия и цезия с редкоземельными элементами. Спицын Викт. И., Рыбаков В. К., Трунов В. К. «Докл. АН СССР», 1970, 194, № 4, 830—831

Рентгенографически (камера КФОР, автоматич. линейный дифрактометр, λ Mo, Cu) методом тяжелого атома определены и МНК уточнены структуры изотипных соединений $\text{Bi}_2\text{Fe}_4\text{O}_9$, $\text{Bi}_2\text{Ga}_4\text{O}_9$, $\text{Bi}_2\text{Al}_4\text{O}_9$ (I—III). Число отражений и R для I—III соотв.: 129, 472, 556; 0,19; 0,185; 0,178. Параметры ромбич. решетки I a 7,94, b 8,44, c 6,01 Å; II 7,93; 8,31; 5,92; III 7,70; 8,13; 5,71, ф. гр. $Pbam$. Приведены координаты атомов для 3 соединений. Сопоставлены структуры антиферромагнетиков I и BiMn_2O_5 .

Автореферат

Х. 1971. 5



12



VII $(\underline{\text{Bi}} \underline{\text{Fe}} \text{O}_3)_x (\text{PbTiO}_3)_{1-x}$ abc. VII 5695 [1971]

Vaznick C.M., Gerson R., James W.J.

J. Appl. Phys., 1971, 42, n1, 395-399.

Изучение свойств растворов $\text{BiFeO}_3 - \text{PbTiO}_3$ типа неравенства с помощью
метода электропроводности.

РХ, 1971, 15Б423.

б НС

1982

BiFeO₃
= 3

(T_{tr})

Температурные
расширение

22 Б356. Точное определение параметров решетки и коэффициентов теплового расширения BiFeO_3 . Висси J. D., Robertson B. K., James W. J. The precision determination of the lattice parameters and the coefficients of thermal expansion of BiFeO_3 . «J. Appl. Crystallogr.», 1972, 5, № 3, 187—191 (англ.).

Проведено рентгенографич. исследование (метод порошка в камере Страуманиса и высокот-рной камере Симанна λCo) BiFeO_3 . Параметры гексагон. решетки, уточненные МНК при $t = 25,13^\circ$ $a = 5,5799$, $c = 13,8670\text{\AA}$. Параметры решетки при шир. т-рных интервалах даны в функции от т-ры $t(t)$. В интервале $20-325^\circ$ $a = 5,5764 + 6,06 \times 10^{-5} t$, $c = 13,8620 + 2,0 \times 10^{-4} t$; при $344-838^\circ$ $a =$

X·1982·22

$5,5946 + 6,83 \times 10^{-5} t, \text{ c}$ $13,7251 + 9,05 \times 10^{-4} t - 12,50 \times$
 $\times 10^{-7} t^2 + 9,40 \times 10^{-10} t^3 - 3,57 \times 10^{-13} t^4$. Найдены два
перехода, один в интервале t -р $325-344^\circ$ (антифер-
ромагнитная т-ра Нееля) и второй вблизи точки Кюри,
к-рая определена экстраполяцией $-845 \pm 5^\circ$. Значения
параметров решетки определялись, используя отражения
 $\mathbf{c} > 77^\circ$. В работе приведен график зависимости па-
метров решетки от температуры.

З. В. Пудовкина

BiFeO₃

1973

(T_{tz})

+ 1412t Magnetic and structural properties of bismuth orthoferrite. Blaauw, C.; Van der Woude, F. (Solid State Phys. Lab., Univ. Groningen, Groningen, Neth.). *J. Phys. C* 1973, 6(8), 1422-31 (Eng). The ferroelec. and antiferromagnetic orthoferrite BiFeO₃ was studied extensively by using the Moessbauer effect technique. The sublattice magnetization data do not agree with those previously published but do agree with data for other orthoferrites and for Fe oxides in general. The several phase transitions reported in the literature were not obsd.

b3 - 10341

C.A. 1973. 79 n2

Bi₂Fe₄O₉

1973

(T_{Neel})

42256v Bismuth iron oxide ($\text{Bi}_2\text{Fe}_4\text{O}_9$) study by Moessbauer effect. Hanzel, D.; Moljk, A. (Inst. "Jozef Stefan," Ljubljana, Yugoslavia). *Fizika (Zagreb)* 1973, 5(3), 145-53 (Eng). Antiferromagnetic $\text{Bi}_2\text{Fe}_4\text{O}_9$ was studied, at $8-550^\circ\text{K}$, by using the Moessbauer effect. The Neel temp. $T_N = 253 \pm 3^\circ\text{K}$; the effective magnetic field, extrapolated to 0°K , is 535 ± 5 kG for octahedral and 485 ± 5 kG for tetrahedral Fe sites. The temp. dependence of the sublattice magnetization does not agree satisfactorily with the Brilloin curve for $N = 5/2$. In the region $0.76 < T/T_N < 0.97$, the sublattice magnetization is $M(T) = M(0)D(1 - T/T_N)^{\beta}$, with $\beta_{\text{oct}} = 0.29$ and $\beta_{\text{tet}} = 0.31$. From the quadrupole splitting above T_N and from the caled. field gradient, the nuclear quadrupole moment of the excited state of Fe on the octahedral site is $0.16 \pm 0.03 \mu\text{B}$.

C.A.1974.80 n8

BiFeO_3

БФР-XVI-1185

1973

BiFe_3O_9

5 Е636. Фазовые превращения в ферритах висмута
 BiFeO_3 и $\text{Bi}_2\text{Fe}_4\text{O}_9$. Резинецкий Л. А. «Изв. АН
СССР. Неорганические материалы», 1973, 9, № 2, 273—276

Методами ДТА и электросопротивления определены
температуры и теплоты фазовых превращений ферритов висмута.
 BiFeO_3 имеет превращения при 370; 775; 825° С
и температуру плавления 940° С; $\text{Bi}_2\text{Fe}_4\text{O}_9$ имеет превращения
при 450; 775; 825; 890° С, плавится при 970° С. Ферриты
висмута при охлаждении из области, близкой к температуре
плавления, способны к переохлаждению и значительному
температурному гистерезису электросопротивления.
Оба феррита — полупроводники.

T_{t2}

ΔH_{t2}

ф. 1973. № 5

СССР 6 Осн. тт.

У. Бергсон,

BiFeO₃ ВР-XVI-1185 1973

Bi₂Fe₄O₉ 13 Б883. Фазовые превращения в ферритах висмута BiFeO₃ и Bi₂Fe₄O₉. Резницкий Л. А. «Изв. АН СССР. Неорганические материалы», 1973, 9, № 2, 273—276

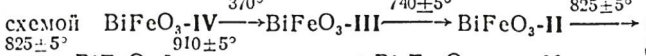
Методами ДТА и измерения уд. электросопротивления изучены фазовые переходы в BiFeO₃ и Bi₂Fe₄O₉. В кач-ве исходных препаратов использовали α -Fe₂O₃ марки «ч. д. а.» и Bi₂O₃ марки «х. ч.», предварительно прокаленные при 800°. Синтез BiFeO₃ проводили сплавлением компонентов при 1000° с последующим медленным охлаждением расплава. На кривой нагревания ДТА BiFeO₃ отмечены эндотермич. эффекты при 825 и 940°, соотв-щие полиморфному превращению и никонгруэнтному плавлению BiFeO₃. На кривой зависимости уд. электросопротивления (R) от т-ры отмечен излом при 370°, характерный для точки Кюри. Величина R равна $1 \cdot 10^5$ ом·см при 160° и 1 ом·см вблизи 950°, а ширина запрещенной зоны составляет 0,51 и 0,38 эв в области

(T_{tr}; ΔH_{tr})

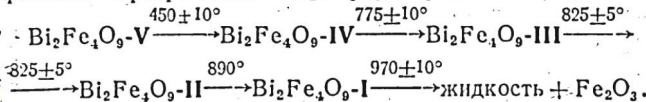
X. 1973 N 13

СССР. Оттп.
У. Бергштад.

т-р 160—370 и 370—740° соотв. Полная картина фазовых превращений BiFeO_3 может быть представлена



$\xrightarrow[825 \pm 5^\circ]{910 \pm 5^\circ} \text{BiFeO}_3\text{-I} \longrightarrow$ жидкость + $\text{Bi}_2\text{Fe}_4\text{O}_9$. Методом кол-венного ДТА определены теплоты фазовых превращений $\Delta H_{740^\circ} = 380$ кал/моль, $\Delta S = 0,37$ э. с. $\Delta H_{825^\circ} = 2650$ кал/моль, $\Delta S = 2,41$ э. с.; $\Delta H_{940^\circ} = 1740$ кал/моль, $\Delta S = 1,43$ э. с. На кривой нагревания ДТА $\text{Bi}_2\text{Fe}_4\text{O}_9$ наблюдаются эндотермич. эффекты при 825 ± 5 , 890 и $970 \pm 10^\circ$, сопровождающиеся аномалиями т-рной зависимости R . На кривых $1g \sigma = f(1/T)$ отмечены также резкие изломы при 450 ± 10 и $770 \pm 10^\circ$, свидетельствующие об электронных превращениях в тв. фазе. Для фазовых превращений $\text{Bi}_2\text{Fe}_4\text{O}_9$ предложена схема:



Тепловые эффекты превращений равны: $\Delta H_{825^\circ} = 7500$ кал/моль, $\Delta S = 6,8$ э. с. $\Delta H_{890^\circ} = 5400$ кал/моль, $\Delta S = -4,7$ э. с. $\text{Bi}_2\text{Fe}_4\text{O}_9$ обнаруживает полупроводниковые св-ва. Величина R равна $7 \cdot 10^6$ и $0,4$ ом·см при 260 и $\sim 970^\circ$ соотв., а ширина запрещенной зоны равна 0,9 эв в интервале 260—450° и 0,57 эв в интервале 450—775°.

А. В. Салов

BiFeO₃

BG-XVI-1185

1973

Bi₂Fe₄O₉

f) 116222p Phase transformations in bismuth ferrites BiFeO₃ and Bi₂Fe₄O₉. Reznitskii, L. A. (Khim. Fak., Mosk. Gos. Univ. im. Lomonosova, Moscow, USSR). Izv. Akad. Nauk SSSR, Neorg. Mater. 1973, 9(2), 273-6 (Russ). By using DTA and elec. resistivity methods, the temps. and heats of phase transformations of Bi ferrites were determined. BiFeO₃ has transformations at 370, 775, and 825°, and the m.p. is at 940°. Bi₂Fe₄O₉ has transformations at 450, 775, 825, and 890°, and it melts at 970°. The bismuth ferrites are, upon cooling from a region close to the melting temp., capable of supercooling and show significant temp. hysteresis of elec. resistivity. Both ferrites are semiconductors.

S. A. Mersol

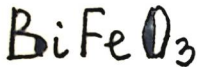
ΔH_{tr}

Elect. Comm.

Y. Berezin

C.A. 1973, 78 N18

1974



(T_{tr})

X. 1974
n 17

17 Б1035. Фазовая диаграмма твердых растворов (Bi_{1-x}La_x)FeO₃. Kaczmarek W., Polomska M., Rajak Z. Phase diagram of (Bi_{1-x}La_x)FeO₃ solid solution. «Phys. Lett.», 1974, A 47, № 3, 227—228 (англ.)

Методами ДТА, ТГА, дилатометрии, рентгенографии, ЭПР-спектроскопии и измерений диэлектрич. постоянной (ϵ) и магнитной восприимчивости (χ) изучены тв. р-ры (Bi_{1-x}La_x)FeO₃ (I) в интервале $0 \leq x \leq 1$. Чистый

BiFeO₃ обладает сегнетоэлектрич. и антиферромагнитными св-вами (т-ра Кюри и т-ра Нееля ~ 850 и 370° соотв.) и имеет структуру ромбоэдрически искаженного перовскита с параметрами гексагон. элементарной ячейки $a = 5,5876$, $c = 13,876$ Å при коми. т-ре. LaFeO₃ является антиферромагнетиком (т-ра Нееля $\sim 465^\circ$), обладающим слабым ферромагнетизмом. При коми. т-ре он имеет структуру ромбически искаженного перовскита (тип GdFeO₃) с параметрами элементарной ячейки $a = 5,556$, $b = 5,565$, $c = 7,862$ Å. Построена фазовая диаграмма системы BiFeO₃—LaFeO₃ в интервале т-р 0—900°. На т-рной зависимости диэлектрич. проницаемости ϵ (снятой при частотах 1 МГц и 9,4 ГГц) в интервале

конц-ий $0 \leq x < 0,3$ существуют три максимума при т-рах T_1 , T_2 и T_3 , и при $x \geq 0,3$ еще 2 максимума. Т-ра T_3 соответствует т-ре Кюри и понижается с ростом x в I вследствие уменьшения области сегнетоэлектрич. упорядочения. T_2 совпадает с т-рой Нееля и медленно растет с ~ 375 до 405° с увеличением x . Аномалия диэлектрич. проницаемости в этой точке связана с переходом антиферромагнетик—парамагнетик. Т-ра T_1 связана с границей между двумя областями с различной степенью упорядоченности, но природа фазового перехода в T_1 неизвестна. При $x=0,75$ T_1 и T_3 совпадают, а при $x>0,75$ в I не обнаружено электрич. упорядочения, проявляющегося в резком увеличении электропроводности в точке T_1 . Переход от гексагон. структуры BiFeO_3 к ромбич. структуре LaFeO_3 происходит в 4 стадии с существованием двух промежут. ромбич. модификаций в интервалах значений x $0,2—0,55$ и $0,55—0,75$.

А. В. Салов

дги.
(тие)

1975

 BiFeO_3

(Ttr)

17 Б1024. Дифференциальный термический анализ фазовых переходов в твердом растворе $\text{Bi}_{1-x}\text{La}_x\text{FeO}_3$. Kaczmarek W., Rajak Z., Polomska M. Differential thermal analysis of phase transitions in $(\text{Bi}_{1-x}\text{La}_x)\text{FeO}_3$ solid solution. «Solid State Commun.», 1975, 17, № 7, 807—810 (англ.)

Методом ДТА с использованием дериватографа Паулик, Паулик и Эрден определены с точностью $\pm 5^\circ$ т-ры полиморф. превращений BiFeO_3 (I) и тв. р-ров состава $\text{Bi}_{1-x}\text{La}_x\text{FeO}_3$ ($x=0,02-0,2$) в интервале $25-1000^\circ$. Скорость нагревания $5,3$ град/мин на воздухе. Образцы синтезированы керамич. методом, спекание проводилось дважды при $750-850^\circ$ и $800-950^\circ$ в течение 4 час. Дебаеграммы тв. р-ров показали присутствие гексагон. модификации. На кривых ДТА I отмечено 5 эндоэффектов при т-рах 370 (т-ра Нееля), 780 , 815 (т-ра Кюри), 890 и 935 (т. пл.). Установлено понижение т-ры Кюри при возрастании концентрации LaFeO_3 в тв. р-ре. Природа эффектов при 780 и 890° не выяснена. Проведено сравнение с ранее опубликованными данными.

Л. Резницкий

X1976 N 7

BiFeO₃

Tc vs x

1976

87: 32946a Phase transitions in ferroelectric-ferromagnetic $(\text{Bi}_{1-x}\text{La}_x)\text{FeO}_3$ solid solutions. Polomska, Maria; Kaczmarek, Wojciech (Inst. Mol. Phys., Pol. Acad. Sci., Poznan, Pol.). *Pr. Kom. Mat.-Przyr., Poznan. Tow. Przyj. Nauk, Fiz. Dielektr. Radiospektrosk.* 1976, 8(2), 221-34 (Pol). Elec., magnetic, and other phys. properties were studied of polycryst. $(\text{Bi}_{1-x}\text{La}_x)\text{FeO}_3$ solid solns. having a weakly deformed perovskite structure. X-ray studies revealed that the structure of the elementary cell changed with rise in La content from hexagonal at $0 \leq x \leq 0.19$ to rhombic through 3 rhombic modifications at $0.20 \leq x \leq 0.50$, $0.55 \leq x \leq 0.73$, and $0.75 \leq x \leq 1.0$, resp. At concns. corresponding to the limits of these modifications the anomalies in the elec. and magnetic properties were obsd. The temp. dependences of permittivity $\epsilon(T)$ at 1 MHz or 9.4 GHz and magnetic susceptibility $\chi(T)$ exhibited 3 characteristic max. at temps. depending strongly upon x . The Curie temp. T_c , decreased linearly from 820° for BiFeO_3 to $\sim 405^\circ$ for $\text{Bi}_{0.70}\text{La}_{0.30}\text{FeO}_3$. For $0 \leq x \leq 0.75$ the solid solns. were ferroelec. No temp. anomalies were obsd. at $x > 0.75$. An anal. at $0 \leq x \leq 0.20$ the solid solns. were antiferromagnetic; they became weakly ferromagnetic at $0.20 \leq x \leq 0.55$ and remained weakly ferromagnetic at $0.55 \leq x \leq 1.0$.

B. K. Suleja

C.A. 1977. 87 v4

$\text{Bi}_2\text{Fe}_4\text{O}_9$

Оттиск 15181

10/7/79

4 Б460. Магнитная структура $\text{Bi}_2\text{Fe}_4\text{O}_9$ — анализ
данных нейтронографических измерений. Shamir N.,
Gurewitz E., Shaked H. The magnetic structure of
 $\text{Bi}_2\text{Fe}_4\text{O}_9$ — analysis of neutron diffraction measurements
«Acta crystallogr.», 1978, A34, № 5, 662—666 (англ.)

Нейтронографически (метод порошка, $\lambda = 2,40$) исследована структура $\text{Bi}_2\text{Fe}_4\text{O}_9$ (I) при 298 и 80°K . При низкой температуре появляются дополнительные магнитные дифракц. максимумы, индицирующиеся в ячейке, удвоенной вдоль всех осей по сравнению с хим. ячейкой (ф. гр. $Pbam$, $a = 7,950$; $b = 8,428$; $c = 6,005\text{\AA}$). Из температурного изменения интенсивностей магнитных рефлексов следует, что при $T_N = (264 \pm 3)^\circ\text{K}$ в I происходит антиферромагнитное упорядочение. Переход этот хорошо описывается в приближении молек. поля для спина $5/2$. На основе симметрийного анализа в соответствии с теорией фазовых переходов второго рода установлено, что переход описывается неприводимым представлением с $k = 1/2, 1/2, 1/2$. Трансляции высокот-рной фазы решетки становятся в

T_{Neel} .

20.10.1979, 14

магнитной решетке антитрансляциями. Магнитная структура I относится к ф. гр. $P\ 2/m$. С помощью МНК показано, что моменты ионов, расположенных в позициях одного типа 4 (h) или 4 (f), одинаковы — колинеарны (перпендикуляры оси c). Наилучшее согласие с экспериментом получено для модели, в к-рой моменты направлены под углами 84, 51, 50 и 75° к оси a для ионов Fe^{3+} , расположенных в позициях 16 (f) и 16 (h) соотв. Позиц. параметры магнитных ионов при 80°K для 4 (f) $z=0,228$, для 4 (h) $x=0,300$ и $y=0,300$, заметно отличаются от значений, определенных при 298°K 4 (f), $z=-0,257$, 4 (h) $x=0,351$ и $y=0,334$). Величина магнитного момента ионов Fe^{3+} составляет $(4,95 \pm 0,08)$ $\mu_{\text{в}}$, что практически совпадает с моментом свободных ионов Fe^{3+} ($5\ \mu_{\text{в}}$).

С. Ш. Шильштейн



Bi₂Fe₄O₉

LOTTECK 15181

1978

89: 139531c The magnetic structure of bismuth ferrite ($\text{Bi}_2\text{Fe}_4\text{O}_9$) - analysis of neutron diffraction measurements. Shamir, N.; Gurewitz, E.; Shaked, H. (Nucl. Res. Cent.-Negev, Beer Sheva, Israel). *Acta Crystallogr., Sect. A* 1978, A34(5), 662-6 (Eng). The compd. $\text{Bi}_2\text{Fe}_4\text{O}_9$ belongs to the space group $Pbam$ (D_{2h}^9), with 2 formula units per unit cell. Neutron diffraction measurements showed that it is paramagnetic at room temp. and undergoes a transition to an antiferromagnetic state at $T_N = (264 \pm 3)$ K in agreement with previous susceptibility and Moessbauer measurements. Anal. of the 80 K neutron diffraction pattern yielded a magnetic structure with the following features: (1) the basic translations a_0 , b_0 , c_0 of the chem. lattice change into antitranslations in the magnetic lattice. (2) The spins are perpendicular to c_0 . (3) The magnetic structure belongs to the $Pc2/m$ space group and is a basis vector to an irreducible space under the $Pbam$ irreducible representations, in accord with Landau's theory of 2nd-order phase transition. The position parameters of the Fe^{3+} in the unit cell were refined. The magnetic moment of the compd. was $(4.95 \pm 0.08)\mu\text{B}$, compared with the value of $5\mu\text{B}$ for the Fe^{3+} free ion. The temp. dependence of the {131} magnetic reflection peak intensity was measured and found to be in agreement with the sublattice.

(Tir)

C.A. 1978.89
N16

see references

BiFeO_3

Литник 7474 | 1978.

Резникович А. А.

$(P_p, T_{\text{He}}, \alpha_{\text{He}})$ ✓ Всесоюзные Итоги науки и техники
Сер. химическая промышленность -
наука и практика
том 4. Москва, Высш. ш.,
1978, 72-74

Bi₂Fe₄O₉

1978

89: 156639p The magnetic structure of bismuth ferrite ($\text{Bi}_2\text{Fe}_4\text{O}_9$) - a neutron diffraction study. Shamir, N.; Gurewitz, E.; Shaked, H. (Nucl. Res. Cent. Negev, Beer Sheeva, Israel). *J. Magn. Magn. Mater.*, 1977 (Pub. 1978), 7, 66-8 (Eng). A neutron diffraction study of $\text{Bi}_2\text{Fe}_4\text{O}_9$ has revealed that this compd. undergoes a transition at $T_N = (264 \pm 3)$ K from a paramagnetic to an antiferromagnetic state. At $< T_N$ the magnetic structure is characterized by (1) the chem. lattice primitive translations are anti-translations of the magnetic lattice; (2) the magnetic moments have the magnitude $(4.95 \pm 0.03) \mu_B$ and are parallel to the a b plane; and (3) the magnetic space group is $Pc2/m$.

(T_{rec})

C.A. 1978, 89, N18

BiFeO_3

1979

Резниковский А.И.

(Ter)

Автореферат диссертации
на соискание ученой
степени кандидата

М., МГУ, 1979

1980

BiFeO_3

19 Б617. Температурная зависимость кристаллической и магнитной структуры BiFeO_3 . Fischer P., Polomska M., Sosnowska I., Szumański M. Temperature dependence of the crystal and magnetic structures of BiFeO_3 . «J. Phys.», 1980, C13, № 10, 1931—1940 (англ.)

(Fe^{+3})

В широком интервале т-р нейтронографич. методом исследована крист. и магнитная структура поликрист. образцов антиферромагнитного сегнетоэлектрика BiFeO_3 (I), имеющего ромбоэдрич. структуру типа перовскита. Установлено, что при повышении т-ры от 4,2 до 878 К (выше точки сегнетоэлектрич. перехода 820 К) искажение октаэдров FeO_6 , ориентированных вдоль гексагон. оси, резко уменьшается. Т-ра Нееля, определенная из нейтронографич. данных и результатов исследования т-рной зависимости статич. магнитной восприимчивости, составляет 595 ± 15 К и 625 ± 10 К, соств. Значение магнитного момента ионов Fe^{3+} в I, найденное из т-рной зависимости подрешеточной намагниченности, составляет $gS = 4,34 \mu\text{в}$. Это значение заметно ниже чисто спинового, что связано с эффектами ковалентности.

Б. М. Новоторцев

Х. 1980 № 19

BiFeO₃

[OM. 34056]

1980

Ismailzade I.H., Ismai-
lov R.M.,

T_{t2}

Phys. Stat. Sol. 1980,
59a, K 191 - 194

βFeO_3

(T_{tr})

Ismailzade J. H.
et al

J. Magn. and Magn.
Mater., 1980, 22, v1,
125-127

($\text{Cu}^\bullet \text{LaFeO}_3$; T)

1980

Bi₂O₂·Fe₂O₃ 20 Б694. Термоостаточная намагниченность в системе Bi₂O₃·Fe₂O₃. Ванегјес B., Sharma J., Lahiry S. Thermoremanent magnetization in Bi₂O₃·Fe₂O₃ system. «Phys. status solidi», 1981, B105, № 1, 275—283 (англ.; рез. нем.)

1981

Ttγ

Керамическим методом или соосаждением из р-ра получены поликрист. образцы Bi₂O₂·Fe₂O₃ (I), имеющего ромбическую искаженную перовскитоподобную структуру. Чистота и однофазность полученных образцов контролировалась рентгенографич. методом. Методом Кюри при т-рах 77—700 К исследована статич. магнитная восприимчивость (χ) образцов I. Установлено, что на кривых $\chi(T)$ при T~600 K наблюдаются широкие максимумы, обусловленные антиферромагнитным упорядочением I, причем т-ра Нееля T_N зависит от метода приготовления. Для всех образцов, переохлажденных в остаточном магнитном поле $H\sim 20$ Э от 700 К, вблизи T_N наблюдается аномальное увеличение χ и намагниченности, что обусловлено термоостаточной намагниченностью (ТОМ). Рассмотрены различные возможные механизмы возникновения ТОМ в I, включая механизмы, связанные с образованием в I выделений α -Fe₂O₃.

В. М. Новоторцев

X.20.1981

BiFeO₃

1983

19 Б3176. Сегнетоэлектрические домены, двойное
лучепреломление и поглощение в монокристаллах
 BiFeO_3 . Ferroelectric domains, birefringence and absorption
of single crystals of BiFeO_3 . Tabares-Muñoz
Cristobal, Rivéra Jean-Pierre, Schmid
Hans. «Ferroelectrics», 1984, 55, № 1—4: Proc. 5th
Eur. Meet. Ferroelectr. (EMF-5), Benalmádena, Malaga,
Sept. 26—30, 1983. Pt 3, 903—906 (англ.)

Методами просвечивающей микроскопии (в интервале
т-р 4—800 К) исследованы красно-коричн. пластинки
 BiFeO_3 толщиной от 8 до 30 мкм. Кристаллы толщиной
около 0,15 мм исследованы методами микроскопии на
отражение в интервале т-р 300—1100 К. Наблюдалось
обратимое превращение ромбоэдрич. фазы в некубич.
фазу неизвестной структуры с полностью новой домен-
ной картиной, и стабильной вплоть до разл. при 1185 К.
Данные ДТА подтверждают наличие перехода при
 $1083 \pm 1,5$ К с гистерезисом в 1 К. В интервале 10—800 К

X. 1984, 19, N 19

исследованы т-рные зависимости спонтанной поляризации в направлении оптич. осей $n_t - n_\alpha'$ при $\lambda = 546$ нм и толщине 21 мкм, и для осей $n_\gamma - n_\alpha$, $\lambda = 644$ нм и толщина образца 10 мкм. Найдена очень большая величина $\Delta n_{\gamma\alpha} = 0,58$ при комн. т-ре, и обнаружено очень слабое увеличение Δn_s с ростом т-ры. При определении т-рной зависимости границы полосы оптич. поглощения обнаружен сильный отриц. сдвиг ($-5,9 \text{ см}^{-1}\text{K}^{-1}$), объясняющий потемнение кристаллов при их нагреве. Природа сдвига неизвестна. Для пластинок толщиной 21 мкм ясно виден пик поглощения при $15\,600 \text{ см}^{-1}$, соотв. переходу крист. поля ионов $\text{Fe}^{3+} {}^6A_{1g} \rightarrow {}^7T_{2g}$.

Б. А. Ступников

BiFeO₃

1983

(Tm)

| 98: 96542a Formation of bismuth ferrate(IV) potassium bismuth titanato ($K_{0.5}Bi_{0.5}TiO_3$) and sodium bismuth titanate ($Na_{0.5}Bi_{0.5}TiO_3$). Razumovskaya, O. N.; Kuleshova, T. B.; Rudkovskaya, L. M. (Rostov-na-Donu Gos. Univ., Rostov-on-Don, USSR). *Izv. Akad. Nauk SSSR, Neorg. Mater.* 1983, 19(1), 113-15 (Russ). Thermo-gravimetric and x-ray phase anal. studies of $BiFeO_3$, $Na_{0.5}Bi_{0.5}TiO_3$, and $K_{0.5}Bi_{0.5}TiO_3$ were carried out along with studies of formation reactions from the oxides. The compd. $BiFeO_3$ melts incongruently and there are no intermediate compds. obsd. during its formation. The other 2 compds. are formed in steps involving binary and more complex oxides.

C.A. 1983, 98, N/2.

FeBi₂Se₄

1984

) 20 Б3066. Исследование системы Bi_2Se_3 — FeSe . Ал-
лазов М. Р., Ширинов Ш. М., Гасанов Ю. М.,
Мовсум-Заде А. А. «Ж. неорган. химии», 1984,
29, № 6, 1616—1618

Методами ДТА, РФА, МСА и измерения микротвер-
дости построена диаграмма состояния системы Bi_2Se_3 —
 FeSe . Разрез является квазибинарным сечением трой-
ной системы Fe — Bi — Se . Установлено образование од-
ного тройного соединения состава $\underline{\text{FeBi}_2\text{Se}_4}$, плавящего-
ся инконгруэнтно при 923 К; при 873 К оно претерпе-
вает модификац. переход. Установлено наличие тв.
р-ров на основе Bi_2Se_3 до 5 мол. %. Резюме

T_m

X.1984, 19, N 20

Bi_2Se_3 - FeSe

1984

101: 44198d Study of the bismuth selenide (Bi_2Se_3)-iron selenide (FeSe) system. Allazov, M. R.; Shirinov, Sh. M.; Gasanov, Yu. M.; Movsum-Zade, A. A. (USSR). *Zh. Neorg. Khim.* 1984, 29(6), 1616-18 (Russ). The phase diagram was constructed from DTA, microhardness, microstructural, and x-ray phase anal. data. This system is a quasi-binary section of the Fe-Bi-Se system. The ternary compd. FeBi_2Se_4 incongruently m. 923 K and undergoes a phase transition at 873 K. Solid solns. based on Bi_2Se_3 extend to 5 mol % FeSe.

partial

Guaranteed

c.A.1984, 101, n6

Fe Bi Te_x

1987

Садыгов Ф. М. и др.

Фазовые равновесия в системе Fe—Bi—~~Te~~/ Садыгов
Ф. М., Рустамов П. Г., Ильясов Т. М.
// Журн. неорган. химии. — 1987. — Т. 32, вып. 10.
— С. 2546—2549.

Библиогр.: 7 назв.

ISSN 0044—457x

— — 1. Железо — Исследование в системах. 2. Висмут — Исследование в системах. 3. Теллур — Исследование в системах.

№ 29965
18 № 157 [87-50019ж]
НПО ВКП 28.03.88

УДК 546.87-68'24
ЕКЛ 17.8

1988

βFe_3

4 Б3059. Об одном методе расчета термодинамических свойств BiFeO_3 / Копаев А. В., Киндрат Б. И., Шараневич Л. Н., Калугин А. Г. // 6 Всес. совещ. по термодинам. и технол. ферритов, 15—17 сент., 1988: Тез. докл.— Ивано-Франковск, 1988.— С. 161.— Рус.

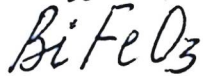
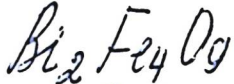
В соответствии с лит. данными для перовскитов RFeO_3 существует линейная зависимость $\Delta_f G^\circ_{1200}$ и S°_{298} от ДНС — длины иенапряженных связей R—O, когда R (РЗЭ) располагается в 12A-позициях. С использованием опубликованного значения объема элементарной ячейки для BiFeO_3 экстраполяцией найдена эффективная ДНС Bi—O. Она оказалась ниже ДНС (12A)—O и выше (6B)—O. Предположено, что ион Bi^{3+} располагается в обеих подрешетках, что и может вызвать наблюдающиеся ромбоэдрич. искажения в решетке перовскита. С использованием усредненной длины связи Bi—O путем экстраполяции зависимости термодинамич. характеристик от ДНС были определены для BiFeO_3 значения $\Delta_f G^\circ_{1200} = -26 \pm 2$ кДж/моль и $S^\circ_{298} = 119$ Дж/моль·К.

А. С. Гузей

(δf , S_{298})

X. 1989, № 4

1992



15 В5 ДЕП. Получения и устойчивость BiFeO_3 /
Леонтьев Н. Г., Смолянинов Н. П.; Азово-Черномор.
ин-т механиз. с. х.— Зерноград, 1992.— 10 с.: ил.—
Библиогр.: 12 назв.— Рус.— Деп. в ВИНИТИ 24.04.92,
№ 1382—В92

Описан метод получения однофазного керамич. BiFeO_3 , а также $\text{Bi}_2\text{Fe}_4\text{O}_9$, в связи с неустойчивостью первого при высоких т-рах. Приводятся результаты дилатометрич. и рентгеноструктурных исследований ортоферрита висмута.

получение
и
устойчив.

Х. 1992, N 15

$\beta_{12} Fe_2 O_{20-y}$

1992

Sel'menova f.s., Skorikov V.M.

(β) *Thermochim. Acta* 1992, 196,
(), 203-11

(all. $\beta_{12} Fe_2 O_{20-y}$; \square)

BiFeO₃

1993

8 Б2232. Поведение типа спинового стекла в аморфном BiFeO₃. Spin-glass behavior in amorphous BiFeO₃ /Nakamura Shin, Sceya Susumu, Ikeda Naoshi, Tanaka Midori //J. Appl. Phys. .—1993 .—74 ,№ 9 .—С. 5652—5657 .—Англ.

На основе результатов измерения магнитных св-в и анализа мессброниевского спектра ⁵⁷Fe найдено, что аморф. BiFeO₃ (I) является парамагнетиком при т-рах выше 220 К. В интервале т-р 20—220 К в I происходят локальные группировки спинов, а при т-рах ниже 20 К I показывает антиферромагнетизм ближнего порядка, т. наз. сперомагнетизм, в к-ром все спины заморожены в случайных направлениях. Отмечено, что, это состояние замороженных спинов весьма похоже на состояние спинового стекла.

В. Ф. Байбуз

*антиферро-
магнетизм*

X. 1994, № 8

BiFeO₃

1997

128: 121029m On the birefringence of magnetoelectric BiFeO₃.
Rivera, J. P.; Schmid, H. (Department Mineral, Analytical, Applied
Chemistry, University Geneva, CH-1211 Geneva, Switz.). *Ferroelec-*
trics 1997, 204(1-4), 23-33 (Eng), Gordon & Breach Science Publish-
ers. The birefringence dispersion of a ferroelastic single domain of
magnetoelec. BiFeO₃ crystal was measured at room temp. (24°) in the
rhombohedral phase. A thin (11 μm) (110)_{cubic} cut was used although it
was not a principal cut. The optical axis (and spontaneous polarization)
formed an angle of 35° with the normal to the cut. Due to anomalous
interference colors, the right order was deduced with the help of conos-
copy. The birefringence of this cut shows normal dispersion and its
value is very large ($\text{dn}' = 0.13$ at $\lambda = 550 \text{ nm}$ to 0.08 at $\lambda = 850 \text{ nm}$).
The principal birefringence ($\text{dn} = 0.34$ at $\lambda = 550 \text{ nm}$) was evaluated

(T_N)

with the help of the computed (Gladstone-Dale relationship) mean refrac-
tive index ($\bar{n} = 2.62$). From $\text{dn}'(T)$, (8K < T < 820 K) the Neel temp. was
found for the 1st time optically, $T_N = 653 \text{ K}$ (380°), and a crit. exponent
was tentatively derived near T_N .

C.A. 1998, 128, N10